

2024 开源之夏 MindSpore 项目结项报告

一、项目基本信息

- 项目名称: 浅层 Clifford 线路近似求解最大割问题
- 项目编号: 24c6d0416
- 项目导师: 罗茂林<luoml5@mail3.sysu.edu.cn>
- 项目承接人: 杨磊<yanglei@shao.ac.cn>
- 项目难度: 基础
- 涉及技术领域标签: AI
- 项目技术要求: Python>=3.7.2, mindquantum==0.9.0
- 项目产出要求:
 - 1、在 MindSpore Quantum 中添加对应功能模块, 并且为该功能撰写教程文档;
 - 2、利用 MindSpore Quantum 成功复现算法和论文中的主要结果图 (Fig1, Fig2, Fig3, Fig5, Fig6, Fig8);
 - 3、提交详细的技术报告: 包括对原文的详细分析、复现代码的结构分析以及对结果的分析等;
 - 4、相关评估指标符合要求, 代码需要有适当的注释并通过 clean code 标准。
 - 5、最终项目代码需要通过审核并合入 mindquantum 代码仓。
- 项目描述:

使用变分算法求解最大割问题面临训练成本高等问题, 如果可以使用 Clifford 线路模拟求解最大割问题, 就可以在经典计算机上高效求解。
- 时间规划:

阶段	时间	内容
资料文献, 整理消化	6.3-6.23	精读文献, 梳理思路, 了解背景知识
搭建线路, 实现算法	6.24-8.11	实现 Adapt QAOA、Standard QAOA、Adapt Clifford、GW 算法, 并成功运行实例
应用算法, 产出图像	8.12-9.14	借助有限的算力资源, 设置相关参数, 按照原文要求运行算法, 得到产出
系统总结, 提交项目	9.15-9.30	提交项目, 撰写文档

二、项目实施进度

1. 算法剖析

Standard QAOA

$$|\psi(\boldsymbol{\gamma}, \boldsymbol{\beta})\rangle_p = \left[\prod_{l=1}^p e^{-i\beta_l H_M} e^{-i\gamma_l H_C} \right] H^{\otimes N} |0\rangle^{\otimes N}$$

$$H_M = \sum_{j=1}^N X_j, \quad H_C = \frac{1}{2} \sum_{i < j} w_{i,j} Z_i Z_j$$

其中 p 为层数, $(\boldsymbol{\gamma}, \boldsymbol{\beta})$ 为线路中所有优化参数, 共 $2p$ 个参数。 H_C 为系统哈密顿量, Standard QAOA cost 层线路选择单比特 X 旋转门作用于所有量子比特作为 H_B 。有研究已经针对特定问题和硬件架构而将 Standard QAOA cost 线路提出了修改, 这些结果也揭示了 QAOA ansatz 的潜在优势, 但没有提供一个适用于广泛优化问题的 H_B 的选择方案。

Adapt QAOA

$$|\psi(\boldsymbol{\gamma}, \boldsymbol{\beta})\rangle_p^{ADAPT} = \left[\prod_{l=1}^p e^{-i\beta_l A_l} e^{-i\gamma_l H_C} \right] H^{\otimes N} |0\rangle^{\otimes N}$$

在 Adapt QAOA 算法中, 将每层相同的 H_B 替换成层层不同的一组 A_l 。

- ① 定义 mixers pool $\{A_j\}$, 满足 $A_j = A_j^\dagger$, 依旧选择 $|\psi_{(0)}\rangle = |+\rangle^{\otimes n}$ 作为初始态。
- ② 制备当前的 $|\psi_{(l-1)}\rangle$, 并计算相对于 mixers pool 中每个 mixer 的能量梯度 $-i\langle\psi_{(l-1)}|e^{iH_C\gamma_l}[H_C, A_j]e^{-iH_C\gamma_l}|\psi_{(l-1)}\rangle$, 其中存在一个新的变量 γ_l , 我们可预先定义为 $\gamma_0 = 0.01^{[1]}$ 。然后得到计算值最大的 mixer 作为当前层的 mixer: A_l 。
- ③ $(\boldsymbol{\gamma}^{(l-1)}, \boldsymbol{\beta}^{(l-1)})$ 为前层的已优化参数, 将 $(\boldsymbol{\gamma}^{(l-1)}, \boldsymbol{\beta}^{(l-1)}, 0.01, 0.01)$ 作为优化初始值进行优化, 优化结果使期望 $\langle\psi_{(k)}|H_C|\psi_{(k)}\rangle$ 最小, 再返回到第二步。为保证 Adapt QAOA 与 Standard QAOA 的可比性, Standard QAOA 也需要使用相同的迭代策略。

针对不同的系统也需要选择不同的池子, 我们先定义线路所需要量子比特的集合 Q , Standard QAOA 所对应的池子为: $P_{QAOA} = \{\sum_{i \in Q} X_i\}$, 再定性定义两个不同的池子, 其中一个包括了所有的单比特旋转: $P_{single} = \bigcup_{i \in Q} \{X_i, Y_i\} \cup \{\sum_{i \in Q} Y_i\} \cup P_{QAOA}$, 另一个包括了单比特和多比特纠缠门: $P_{multi} = \bigcup_{i,j \in Q \times Q} \{B_i C_j | B_i, C_j \in \{X, Y, Z\}\} \cup P_{single}$ 。显然 $P_{QAOA} \subset P_{single} \subset P_{multi}$, 在 Adapt QAOA 中我们选择这样的池子:

$$Pop = \left\{ \sum_{i \in Q} X_i, \sum_{i \in Q} Y_i \bigcup \{X_i, Y_i\}_{i=1, \dots, n} \bigcup \{X_i X_j, Y_i Y_j, Y_i Z_j, Z_i Y_j\}_{i,j=1, \dots, n, i \neq j} \right\}$$

[1] L. Zhu, H. L. Tang, G. S. Barron, F. A. Calderon-Vargas, N. J. Mayhall, E. Barnes, and S. E. Economou, Phys. Rev. Res. **4**, 033029(2022).

Adapt Clifford

$$|\Psi\rangle = \left[\prod_{r=2}^{N-1} e^{i\frac{\pi}{4}Z_{a(r-1)}Y_{b(r-1)}} \right] e^{i\frac{\pi}{4}Y_kZ_j} \underline{Z_k} H^{\otimes N} |0\rangle^{\otimes N}$$

其中 $\mathbf{a}^{(r)}, \mathbf{b}^{(r)}$ 分别为“激活比特”和“待激活比特”的集合，“激活”指的已被作用后的比特。 k 为随机初始值，旨在作用 Z 门于一个随机比特。

(特注：公式中 ZY 的前后顺序并不决定作用的是 Rzy 还是 Ryz 门)

$r = 0$:

$$|\psi_0\rangle = Z_k H^{\otimes N} |0\rangle^{\otimes N}$$

$$\mathbf{a}^{(0)} = \{k\}, \mathbf{b}^{(0)} = \{1, \dots, N\} / \{k\}$$

第 0 步可被认作初始化。

$r = 1$:

$$|\psi_1\rangle = e^{i\frac{\pi}{4}Y_kZ_j} |\psi_0\rangle$$

$$\mathbf{a}^{(1)} = \{k, j\}, \mathbf{b}^{(1)} = \{1, \dots, N\} / \{k, j\}$$

j 值的确定方法：定义一组 $\text{mixers} = [Y_{\mathbf{a}^{(0)}} Z_{\mathbf{b}^{(0)}}]$ ，计算得到 $Y_k Z_j = \max_{M \in \text{mixers}} [-i\langle\psi_0|[H_C, M]|\psi_0\rangle]$ ，第 j 比特已被作用，随后添加至 \mathbf{a} 并在 \mathbf{b} 中删除。

$r \geq 2$:

$$|\psi_2\rangle = e^{i\frac{\pi}{4}Z_x Y_y} |\psi_1\rangle$$

$$\mathbf{a}^{(2)} = \{k, j, y\}, \mathbf{b}^{(2)} = \{1, \dots, N\} / \{k, j, y\}$$

此后的定义不同于 $r = 1$ ， $\text{mixers} = [Z_{\mathbf{a}^{(1)}} Y_{\mathbf{b}^{(1)}}]$ ，并重复上述计算过程。以此类推，直到 $N - 1$ 层填完，也就是 \mathbf{b} 为空集。

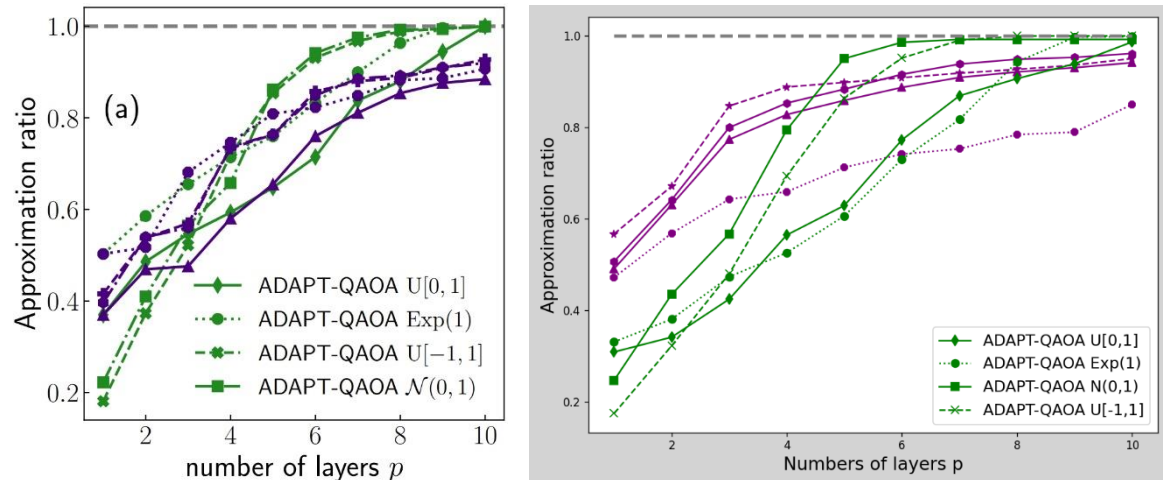
确定作用的双比特旋转门：

$$e^{i\frac{\pi}{4}Y_l Z_m} = \begin{cases} e^{i\frac{\pi}{4}Z^{\otimes Y}}, & m < l \\ e^{i\frac{\pi}{4}Y^{\otimes Z}}, & l < m \end{cases}$$

由于 $r = 0$ 时的 k 为随机值，必然会产生随机误差，所以又分为 randomized 和 deterministic 方法。randomized 为随机一个 k 值；deterministic 为遍历所有 k 可能值，最后取最小的期望值。

2. 原文复现(※表示当前问题)

Figure 1 a



原文取 50 个节点数为 6、四种权重分布的实例，对其分别用 Adapt QAOA 和 Standard QAOA 求解，最终得到解与精确解的近似比。右图是我们随机取 instances=5 的结果，由此可见，相同分布方式的实例，在 layer>6 的时候基本都是 Adapt QAOA 表现更好。

※ 但是当我们取 instances=1000 时，Standard QAOA 的表现符合原文，但 Adapt QAOA 的最大近似比不会是绝对的 100%，结果仍然能够说明 Adapt QAOA 优于 Standard QAOA，如下图左。下图右是一张错误的产出图，但它也能明显地反映出两种算法的趋势与原文相符。从数据的规律来看，可以得出结论: Standard QAOA 的解更稳定，更平均；Adapt QAOA 的解上限更高，下限也更低，表现不稳定。结论适用 minimize 中各种优化方法。

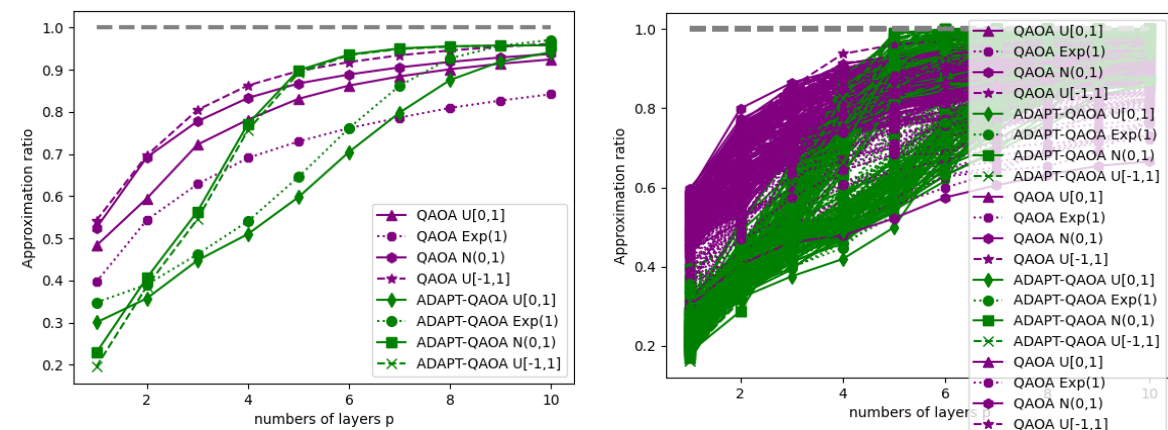
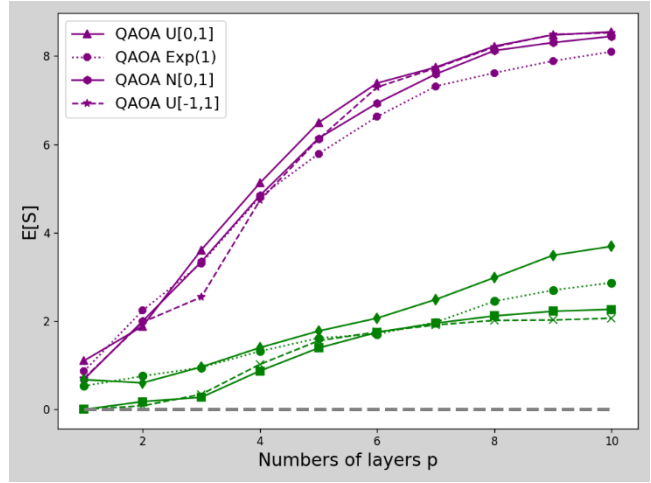
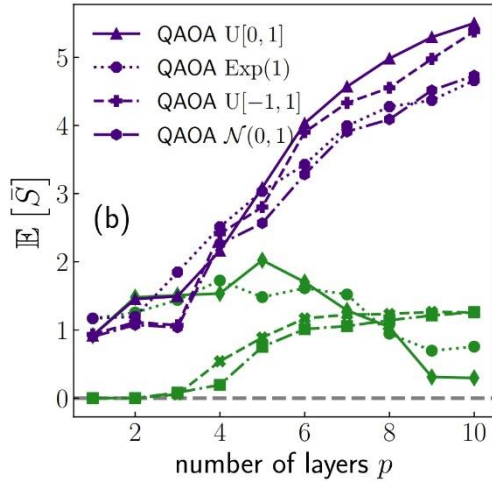


Figure 1 b

为了衡量含参线路与 Clifford 线路的近似程度，定义线路的二阶 Renyi 熵的平均值为衡量标准。结果越接近于 0，则说明越近似于 Clifford 线路。



原文与我们都取 $\text{instances}=50$ 的结果。由图可知，Adapt QAOA 相较于 Standard QAOA 更加容易转换成 Clifford 线路，但在 $\text{layer}>6$ 时，原文中 $U[0,1]$ 和 $\text{Exp}[1]$ 两种分布方式会有明显的下降趋势，我们并没有得到这样的趋势结果，并且我们的值总会大于原文。

原文中的说明: 即便发现线路与 Clifford 线路有较大差距，但能够说明出在小规模的最大割问题中，Adapt QAOA 与 Standard QAOA 有鲜明的对比。

Figure 1 c&d

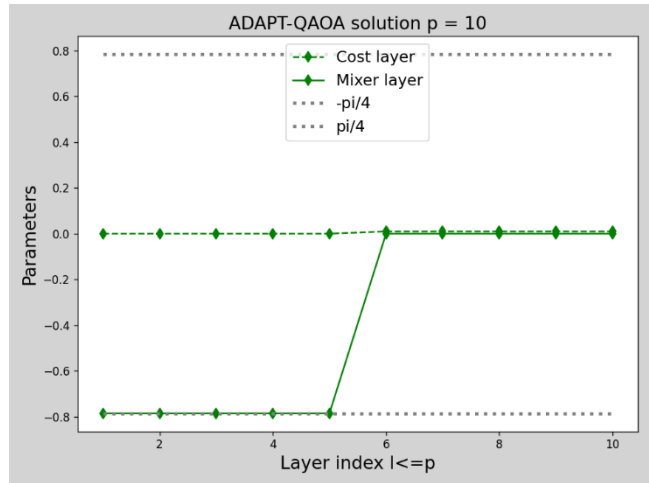
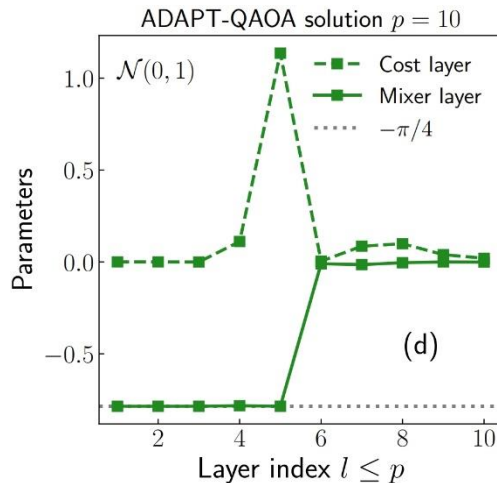
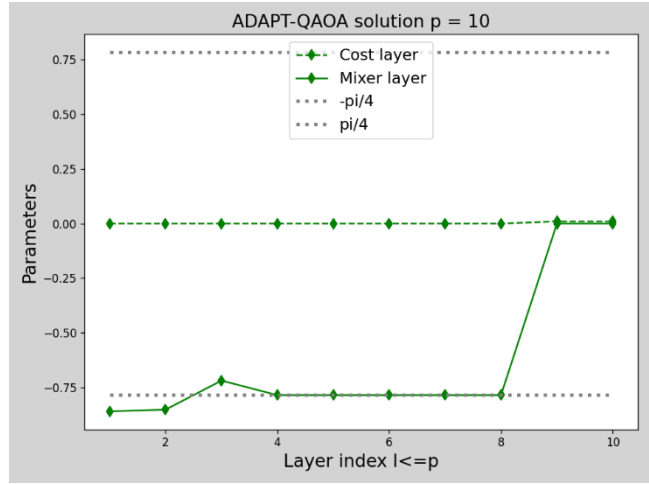
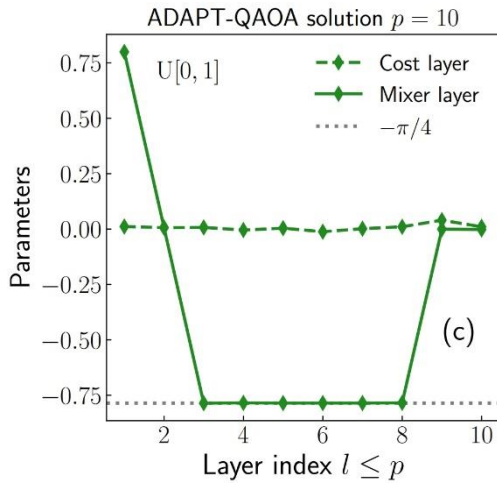


图 c&d 取自 U[0,1] 和 N(0,1) 分布一个实例中的参数分布 (γ, β) ，原文中的总结: (1)每层的 mixer 部分都满足 Clifford 参数，也就是 0 或 $-\pi/4$ ，并且大多数 mixer = $Y_l Z_m$ 。(2)大部分层数的 cost 部分，其参数基本都为 0。(3)仅需要 N=nodes 层的旋转就能够得到收敛的近似解。与我们得到的结论基本相符。

※ 但是在产出图 c&d 的过程并不顺利。公式 $D(\mathbf{v}) = \sum_{v_i} \frac{\min_{l \in \mathbb{Z}} \left\| v_i - l \frac{\pi}{4} \right\|}{\pi/8}$ 表示所得参数与 Clifford 参数的相近程度，越接近于 0 则说明越接近 Clifford 参数。我们取 instances=50 再取平均。

		Uniform[0,1]	Normal(0,1)
Adapt QAOA	From original	$\mathbb{E}[D(\gamma^*)] = 0.522 \pm 0.270$	$\mathbb{E}[D(\gamma^*)] = 1.510 \pm 0.720$
		$\mathbb{E}[D(\beta^*)] = 0.247 \pm 0.322$	$\mathbb{E}[D(\beta^*)] = 0.830 \pm 0.960$
	From us	$\mathbb{E}[D(\gamma^*)] = \underline{4.146} \pm 1.371$	$\mathbb{E}[D(\gamma^*)] = 1.473 \pm 1.072$
		$\mathbb{E}[D(\beta^*)] = \underline{3.363} \pm 2.014$	$\mathbb{E}[D(\beta^*)] = 0.690 \pm 0.967$
Standard QAOA	From original	$\mathbb{E}[D(\gamma^*)] = 3.530 \pm 0.940$	$\mathbb{E}[D(\gamma^*)] = 2.770 \pm 0.780$
		$\mathbb{E}[D(\beta^*)] = 3.410 \pm 0.322$	$\mathbb{E}[D(\beta^*)] = 2.750 \pm 0.640$
	From us	$\mathbb{E}[D(\gamma^*)] = 5.435 \pm 0.942$	$\mathbb{E}[D(\gamma^*)] = 4.707 \pm 1.155$
		$\mathbb{E}[D(\beta^*)] = 4.981 \pm 0.825$	$\mathbb{E}[D(\beta^*)] = 6.004 \pm 0.816$

由表可知，对于 N(0,1) 分布，所得结果与原文相符。但对于 U[0,1] 分布的 Adapt QAOA 结果却相差甚远，为此，我们还对剩余两种分布 Exp(1) 和 U[-1,1] 也做了计算。

		Exponential(1)	Uniform[-1,1]
Adapt QAOA	From us	$\mathbb{E}[D(\gamma^*)] = \underline{3.338} \pm 1.201$	$\mathbb{E}[D(\gamma^*)] = 1.854 \pm 1.536$
		$\mathbb{E}[D(\beta^*)] = \underline{2.207} \pm 1.423$	$\mathbb{E}[D(\beta^*)] = 0.802 \pm 1.126$
Standard QAOA	From us	$\mathbb{E}[D(\gamma^*)] = 4.842 \pm 1.039$	$\mathbb{E}[D(\gamma^*)] = 5.109 \pm 1.109$
		$\mathbb{E}[D(\beta^*)] = 4.889 \pm 0.933$	$\mathbb{E}[D(\beta^*)] = 4.530 \pm 0.695$

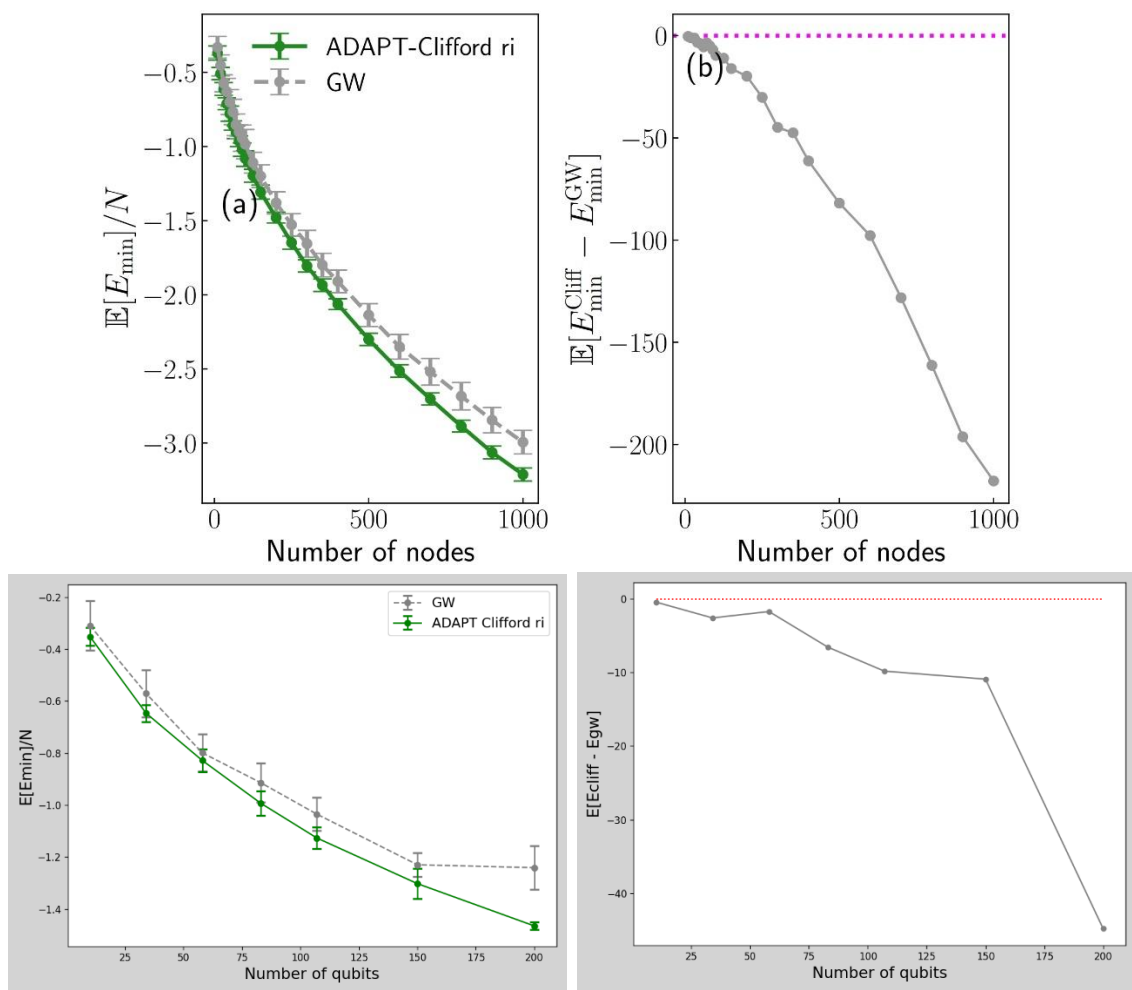
由表可知，对于 U[-1,1] 分布，所得结果满足规律，非常近似于 Clifford 参数。但对于 Exp(1) 分布的 Adapt QAOA 结果也相差甚远。

如果我们定义：一共 20 个参数，当有 ≥ 18 个位于区间 $\left(-\frac{\pi}{4} \pm 0.05, 0 \pm 0.05, \frac{\pi}{4} \pm 0.05\right)$ 则称之为良图。像这样的良品率我们也做了对比：

	U[0,1]	Exp(1)	N(0,1)	U[-1,1]
良品率	00.60%	00.38%	47.62%	41.32%

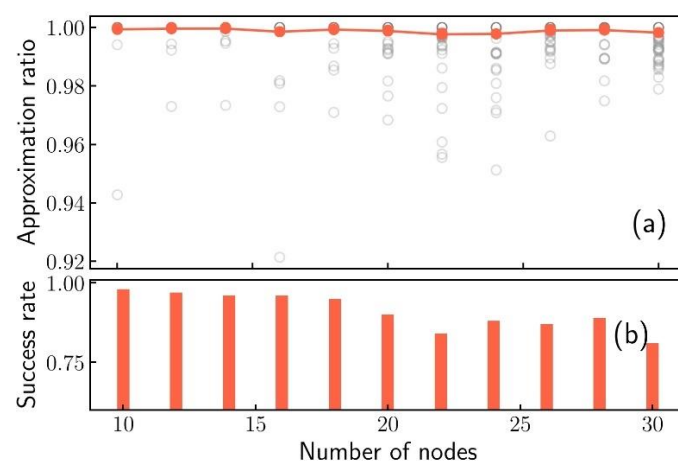
可以看出：N(0,1) 和 U[-1,1] 相较于 U[0,1] 和 Exp(1) 的 Adapt QAOA 结果更易于转换成 Clifford 线路。导致此结果的原因尚未知(优化器？框架？Python？工具包？...)

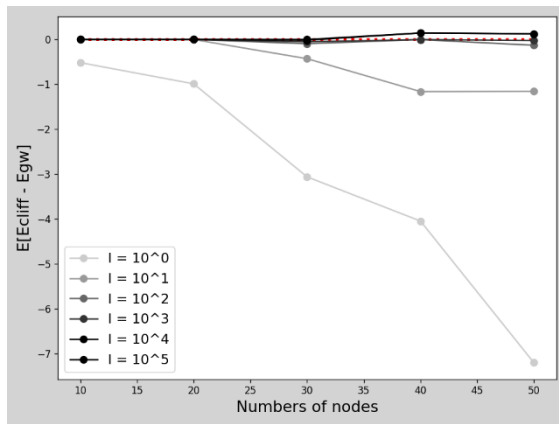
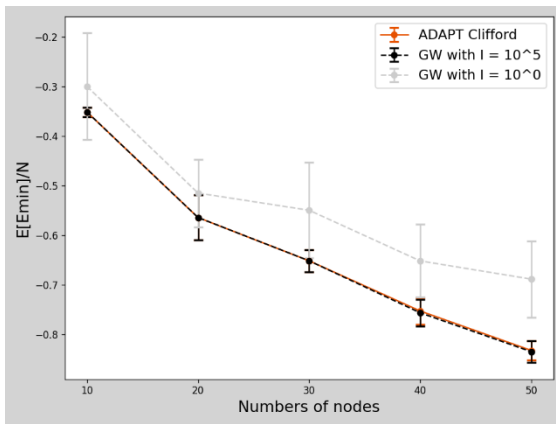
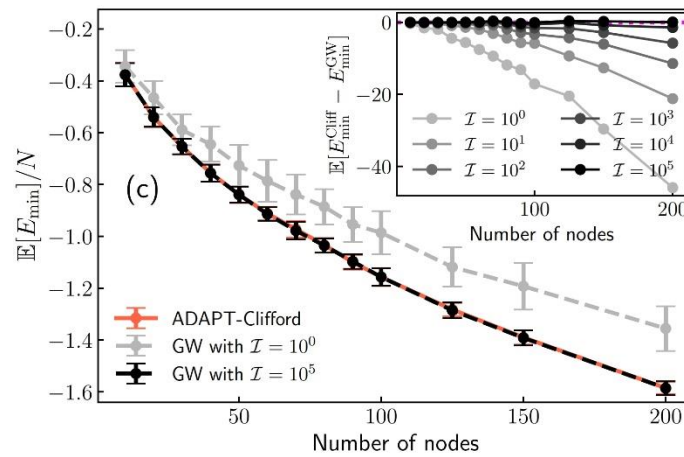
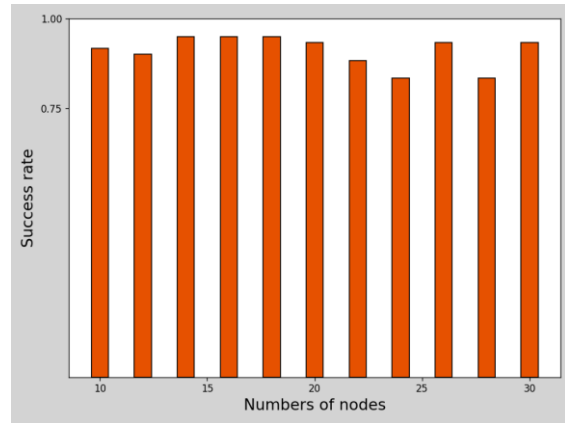
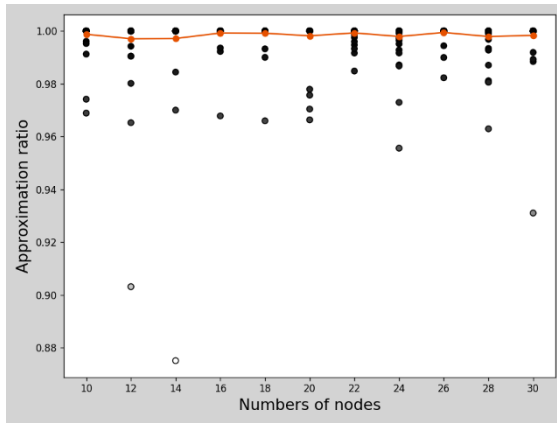
Figure 2



为了将 randomized 方法的 Adapt Clifford 与 standard GW 进行比较，原文取 instances=100 和 nodes(max)=1000，考虑时间成本和算力资源，我们取 instances=20 和 nodes(max)=200，并且是针对于 $U[0,1]$ 分布的 complete 图。由图可知，randomized 方法的 Adapt Clifford 总是优于 standard GW，与原文结论相同。

Figure 3

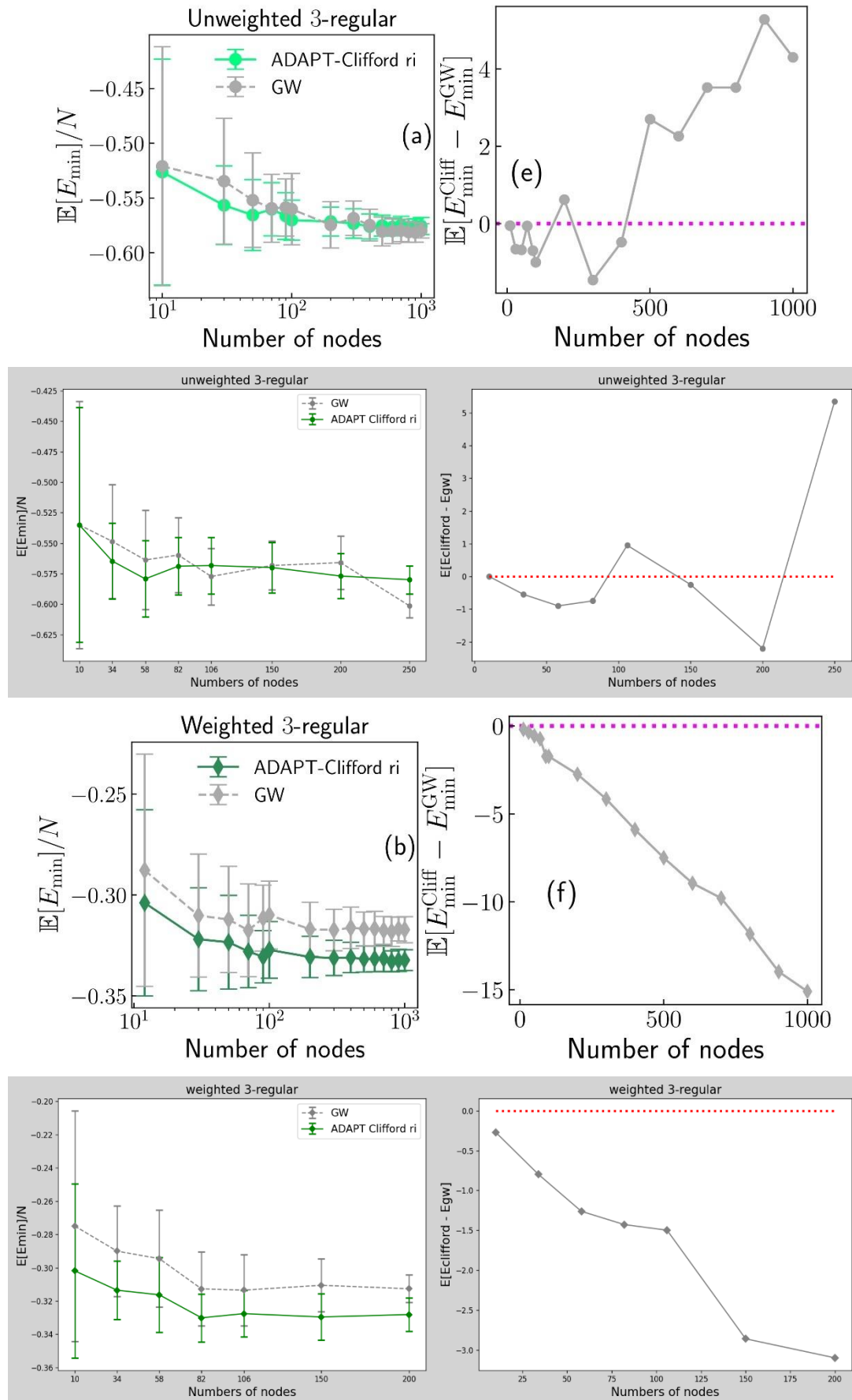




专注于 deterministic 方法的 Adapt Clifford 和 $U[0,1]$ 分布的 complete 图。
图 a&b 原文取 instances=100, 我们取 instances=60。原文描述: 平均近似比为 0.997 (我们的结果为 0.9984), 并且在 $N=30$ 时有大约 80% 的成功率。由图可知, 结论与原文相符。

图 c 是将 deterministic 方法的 Adapt Clifford 与不同循环次数的 GW 相比较。
原文取 instances=60, 我们取 instances=5。原文得到的平均近似比为 0.9686, 我们的结果为 0.9988。由图可知, 结论与原文相符。

Figure 5



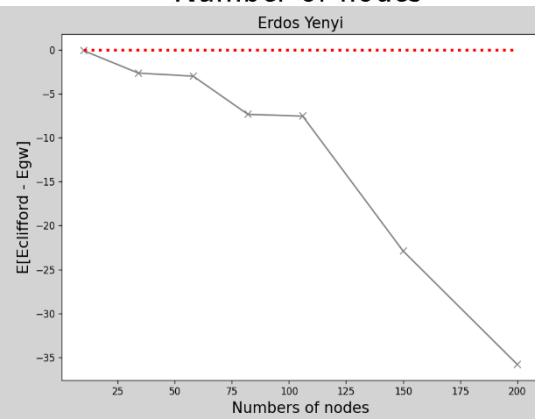
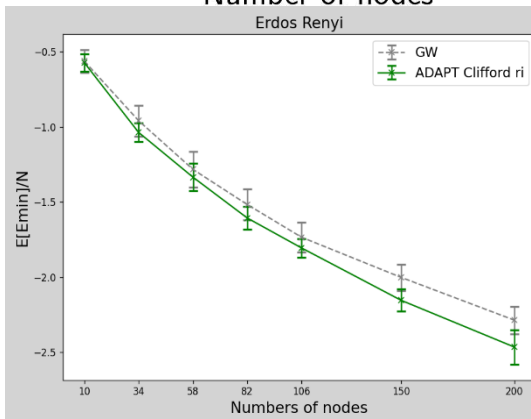
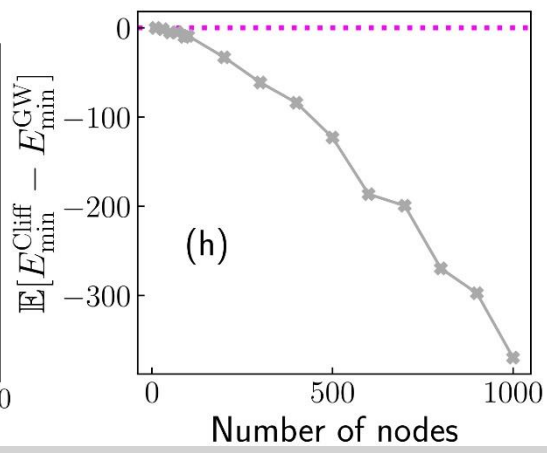
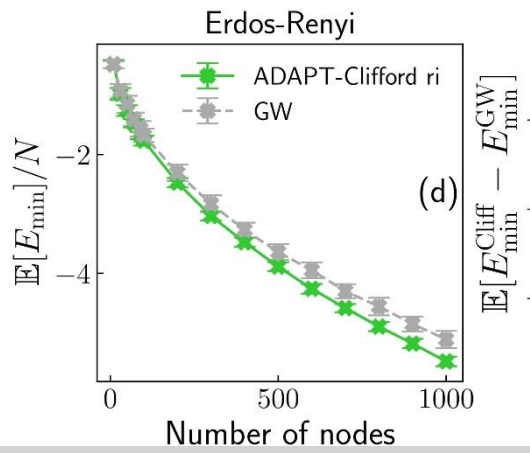
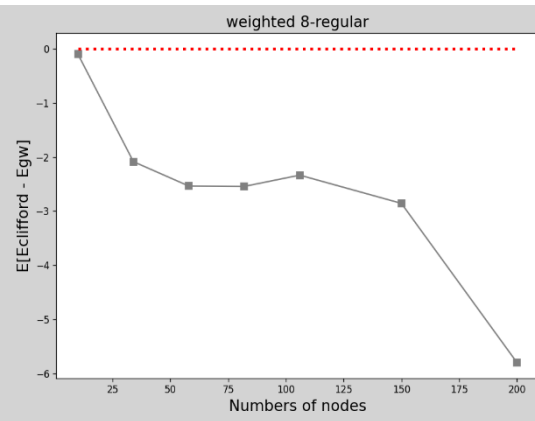
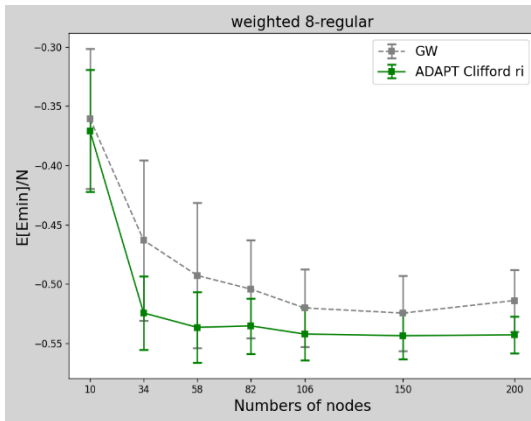
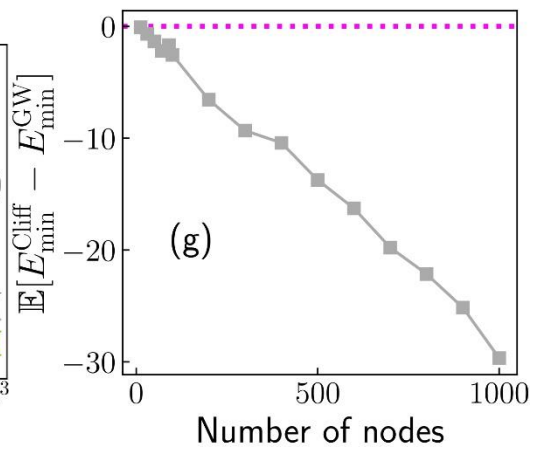
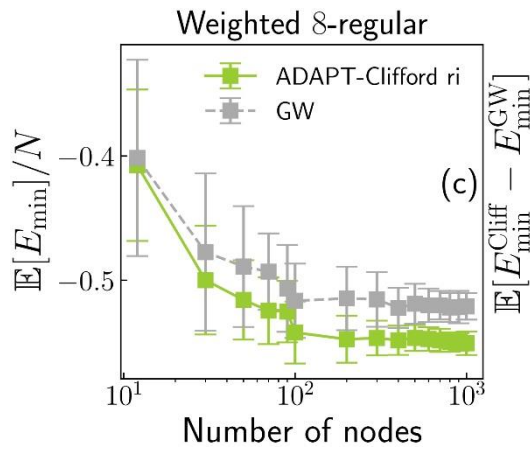


图 5 是将 randomized 方法的 Adapt Clifford 与 standard GW 进行比较，分别取 Unweighted 3-regular、Weighted 3-regular、Weighted 8-regular 和 Erdos-Renyi 四种图进行求解，其中含权重的都为 $U[0,1]$ 分布，Erdos-Renyi 的 edge 概率为 0.5。原文取 instances=100，nodes(max)=1000，我们取 instances=20，nodes(max)=200。由图可知，对于 $N > 200$ 的 Unweighted 3-regular 图，standard GW 有更优解。但随着 edge 的数量增多，权重的概率分布更复杂，Adapt Clifford 会有更优解，Erdos-Renyi 图也是如此。我们的结果与原文相符。

Figure 6

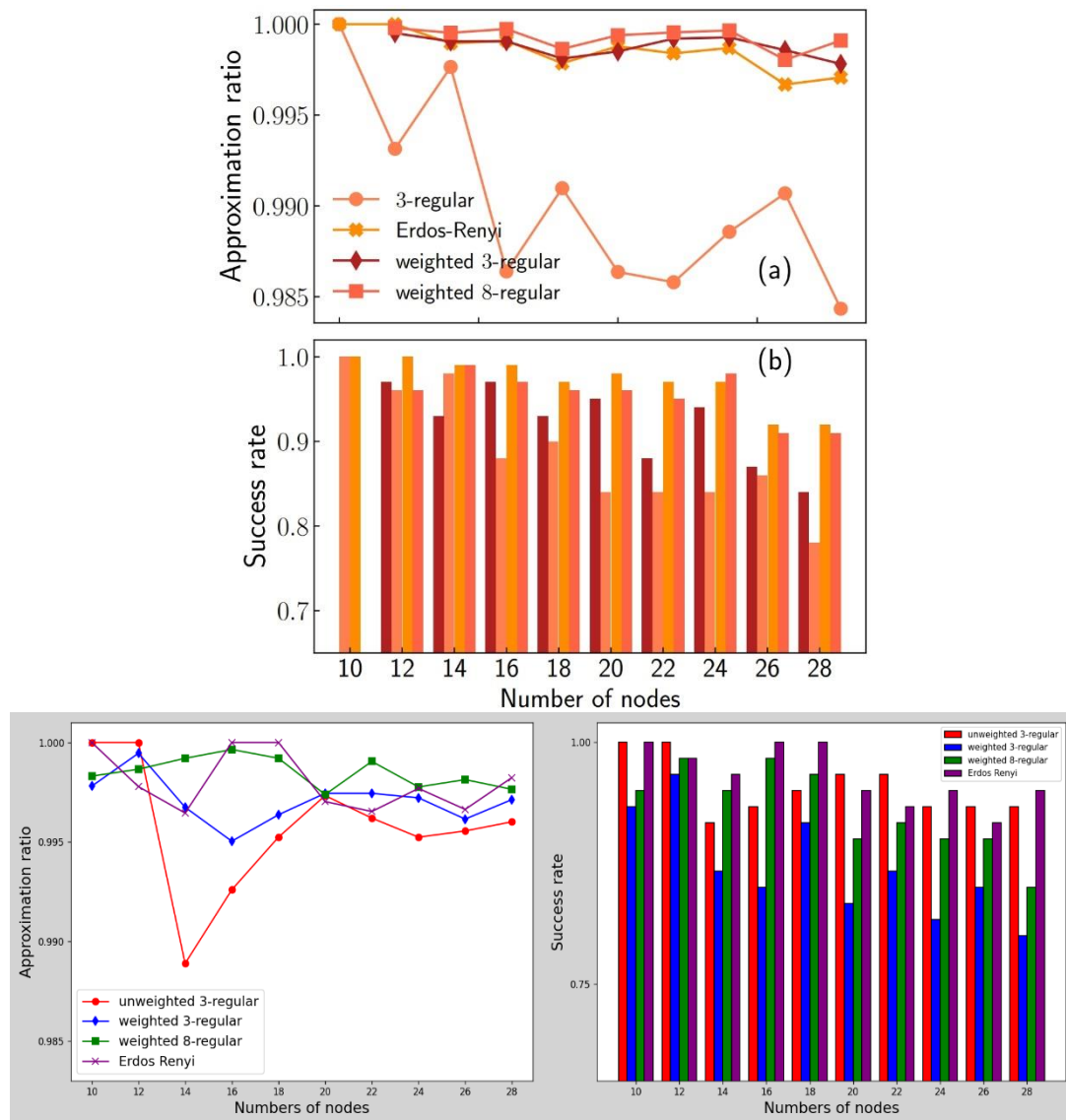
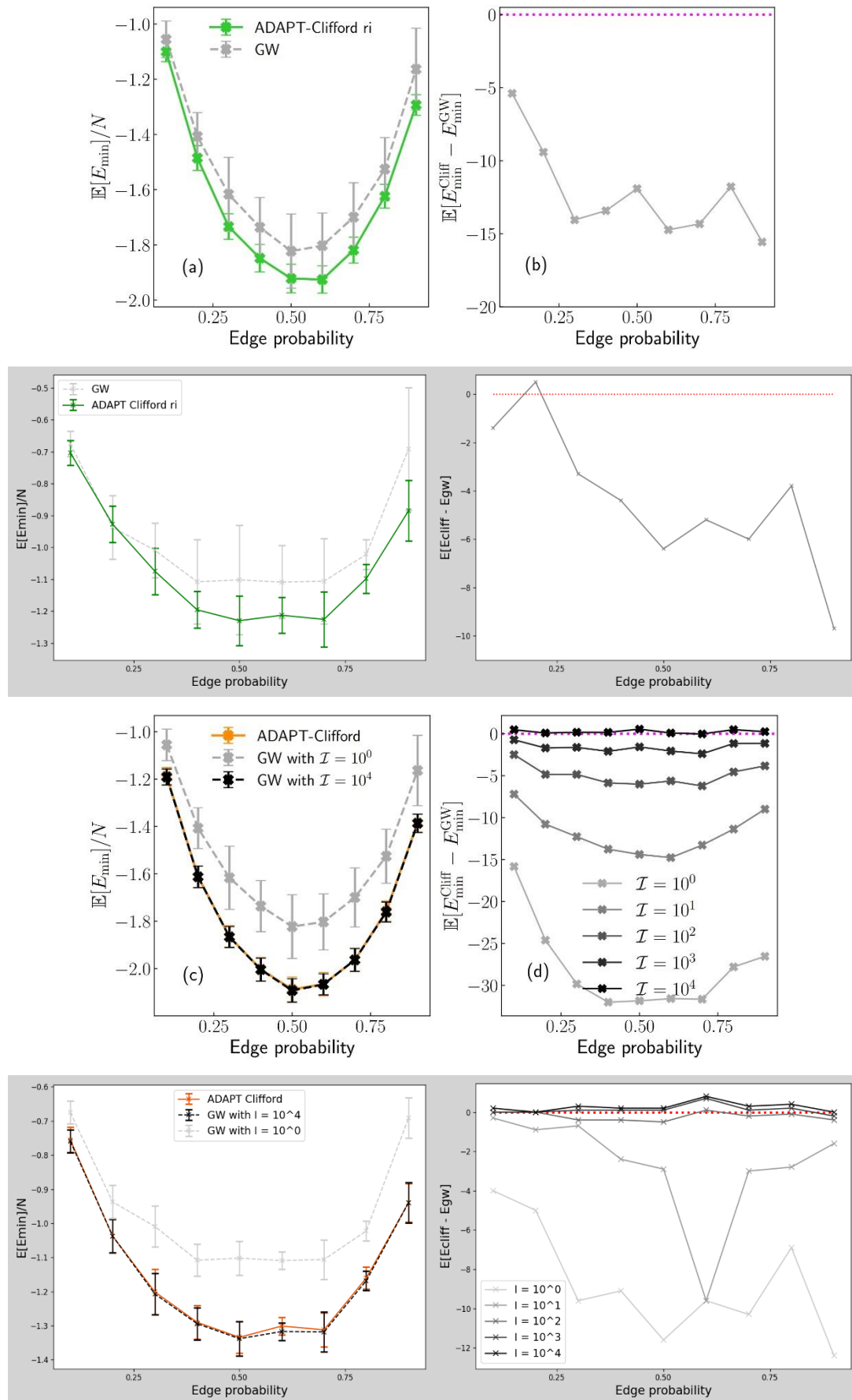


图 6 是 deterministic 方法的 Adapt Clifford 针对图 5 的四种图的求解。原文取 instances=100，我们取 instances=20。原文描述: 从 Unweighted 3-regular 到 Weighted 3-regular 再到 Weighted 8-regular，近似比得到逐步改善。3-regular 图的成功率随着节点数增加而减小，对比之下，Weighted 8-regular 的成功率却能在 $N=28$ 时达到近 90%。考虑到随机误差，我们的结果与原文基本符合。

Figure 8



为了单独研究 Erdos-Renyi 图，分别用 randomized 和 deterministic 方法进行求解。原文取 $N=120$ ，instances=100，考虑到时间成本与计算资源， $N=120$ 的 deterministic 方法无法实现，所以我们取 $N=50$ ，instances=10。

图 a&b 为 randomized 方法与 standard GW 的对比，由图可知，此方法下的 Adapt Clifford 总是会优于 GW。结论与原文相符。

图 c&d 为 deterministic 方法与不同循环次数的 GW 的对比。原文描述：此方法下的 Adapt Clifford 总是会优于 GW，仅当 $I = 10^4$ 时，GW 才能与 Adapt Clifford 有微乎其微的差距。由图可知，结论与原文相符。

3. 问题总结

目前为止，综上为项目要求所有需要复现的图，总体来看，我们的结果与原文基本一致，较为成功。但依旧遇到暂时无法查明的问题，问题集中于 Adapt QAOA 中，也就是 Figure 1 中。

问题一：

在比较 Adapt QAOA 和 Standard QAOA 两种算法过程中，原文所采用 cobyla 优化器，我们采用了 minimize 中的各种可用的优化器，最终对比发现 bfgs 优化器表现最优。但是当两种算法使用同一优化器时，在最大近似比上，Adapt QAOA 相较于 Standard QAOA 没有明显优势，所以我们为了突出 Adapt 的优势改变了变量：Adapt QAOA 使用 bfgs 优化器，而 Standard QAOA 使用 cobyla 优化器。

问题二：

在获取 Adapt QAOA 求解线路的所有参数时，也就是 Figure 1 c&d 过程中。对于 $U[0,1]$ 和 $\text{Exp}(1)$ 两种权值分布的图，以相当小的概率才能得到满足结论的结果，但 $N(0,1)$ 和 $U[-1,1]$ 两种分布却很容易得到。这说明并非算法本身的逻辑问题，目前推测可能原因在于：优化器；框架；Python；工具包、随机误差等，尚未有确凿证据。

问题三：

在应用 Adapt Clifford 算法时，由于执行过程中有限的时间成本以及不足的算力资源，在确保能够验证原有规律的情况下，对部分图像的 nodes 和 instances 有所缩减。所得所有数据均为计算机计算的实际结果，无人工编造。

问题四：

在编写 Adapt Clifford 算法过程中，由于项目要求使用的 mindquantum =0.9.0 以及 0.10.0 中的 stabilizer 模拟器功能尚不完善，部分功能无法直接实现，所以本次项目沿用的是原文中所用的 stim 工具。线路实际为 stim 的 clifford 线路，使用 stim 的 peek_observable_expectation 接口对线路求期望。但是 stim 仅支持单个算符组成的哈密顿量进行求期望，所以本项目使用 mindquantum 的 commutator 求对易式，然后将结果 split() 成数个部分逐个求期望，最后求和。

4. 后续计划

对算法代码进行优化简化，使其满足 `clean code` 标准。根据提交结果的审核意见进一步修改。

根据 Adapt 算法求解最大割问题的启发，研究各类算法的区别并比较。